

図2.1 澄川地域の坑井配置図

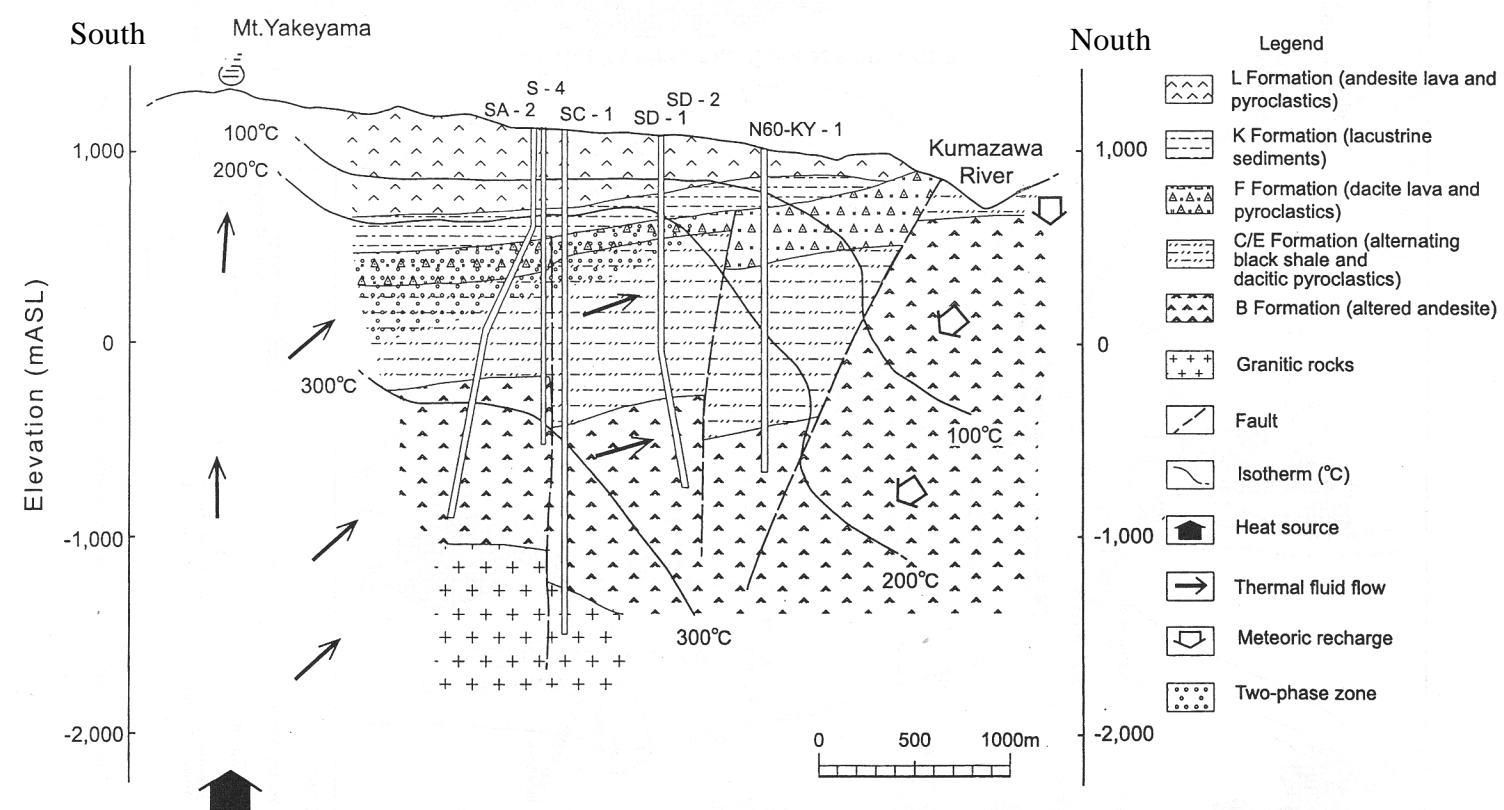


図2.2 澄川地域の概念モデル（南北断面）（窪田（1985）を修正）

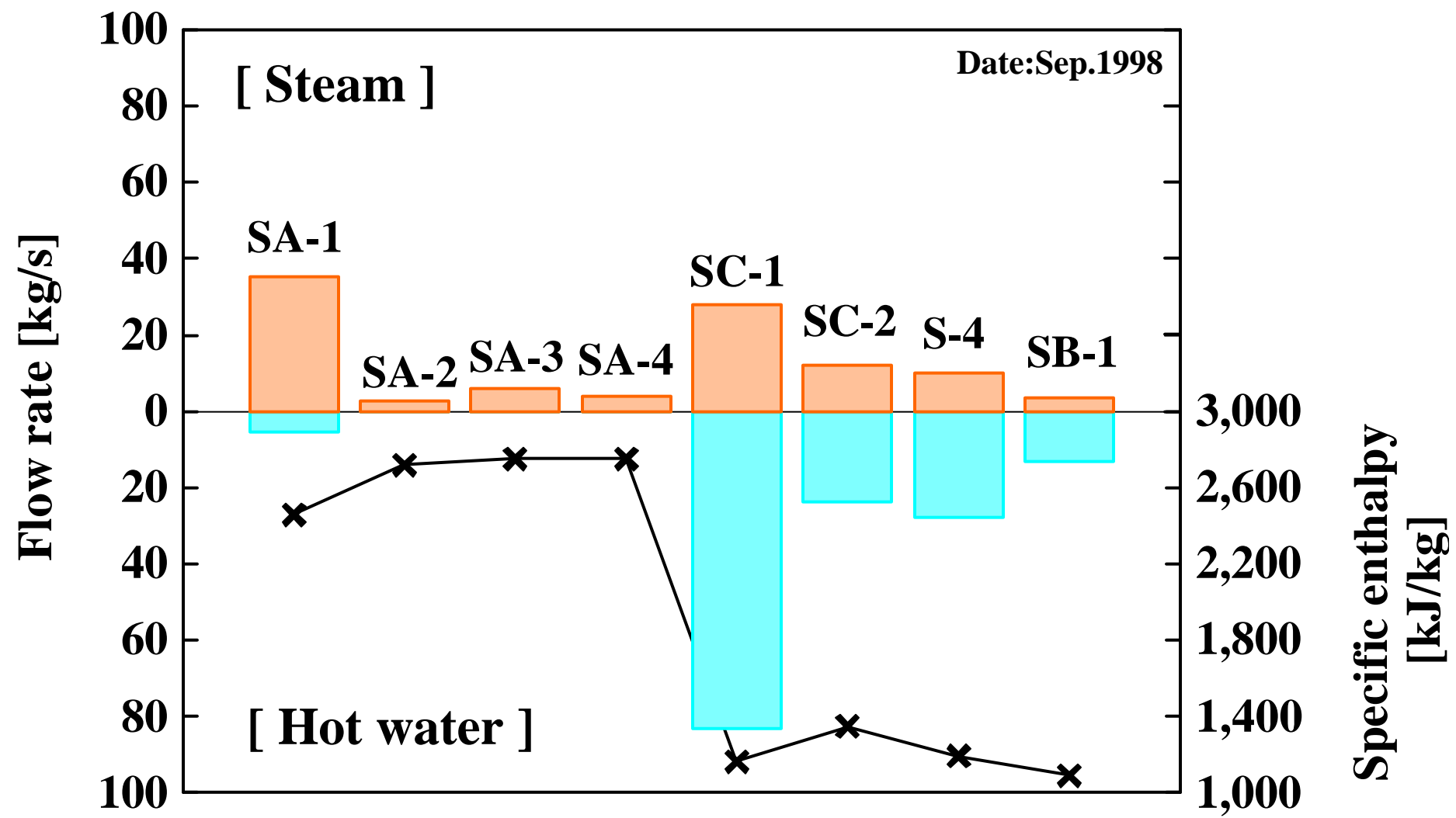
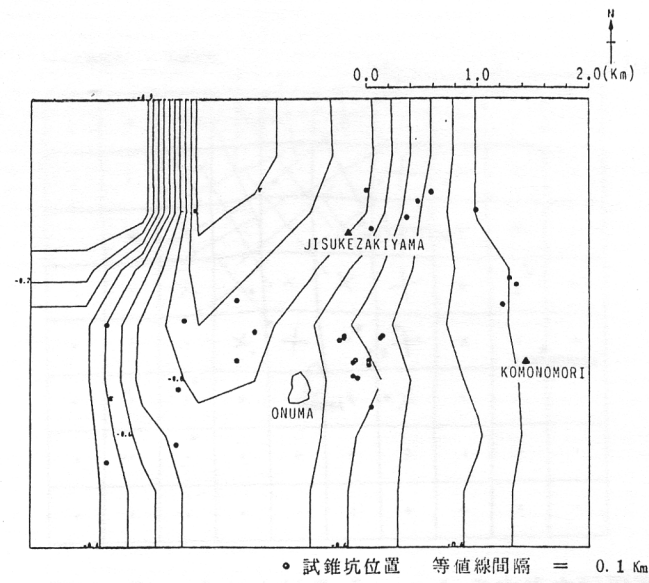
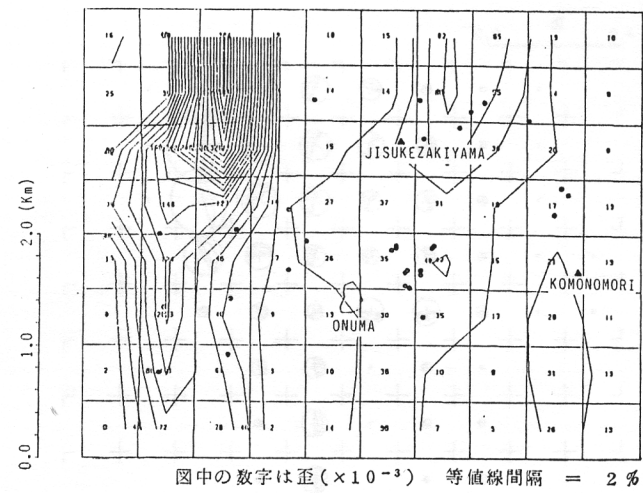


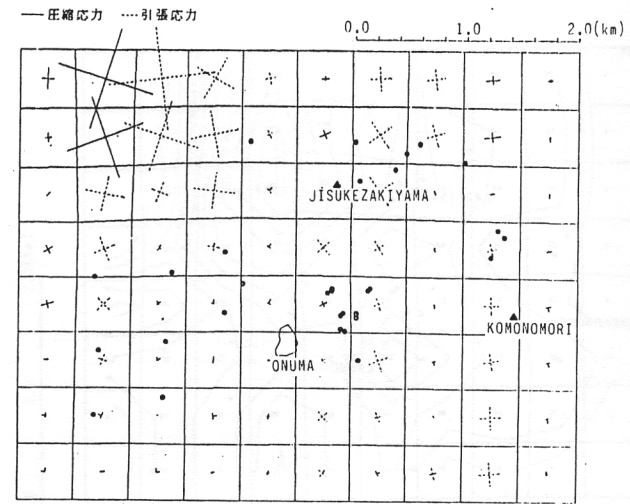
図2.3 澄川生産井の噴出流量と比エンタルピーの関係



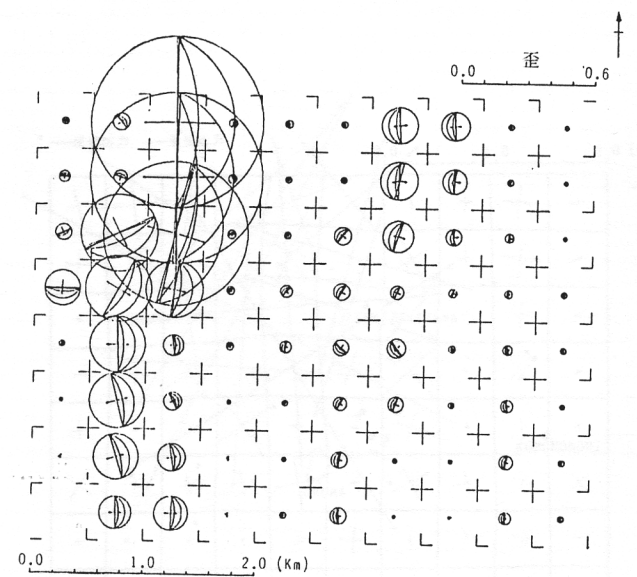
[A] Step 1 における仮想基盤の変位量



[C] Step 1 における Layer 1 の歪分布図



[B] Step 1 における Layer 1 の主応力配置図



[D] Step 1 における Layer 1 の断裂係分布図

図2.8 仮想基盤変位法を用いた解析結果 (安藤ほか, 1985)

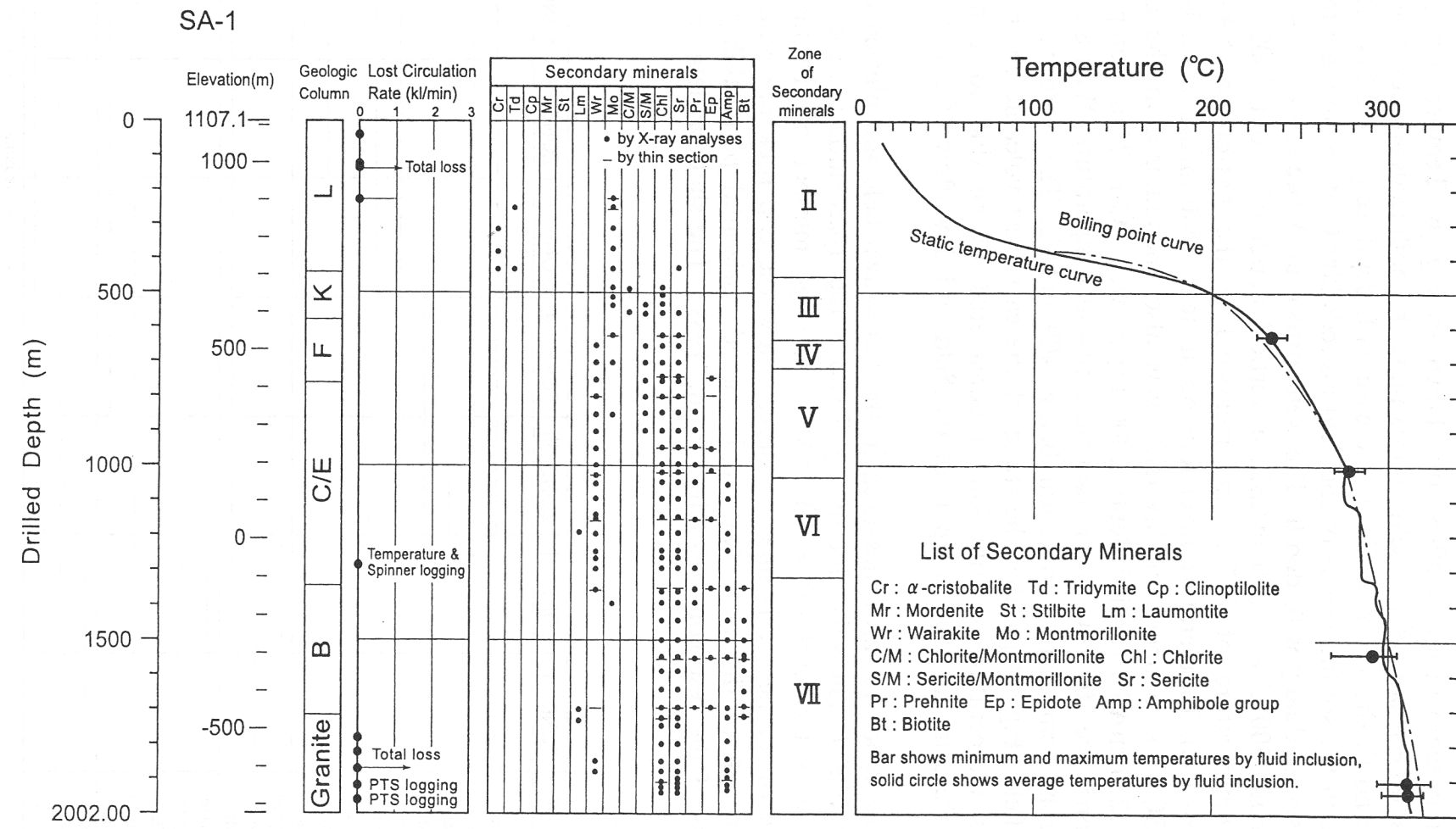


図2.10 SA-1坑の変質分布、地層平衡温度、及び流体包有物均質化温度（番場・窪田，1997）

ALTERED MINERALS		ZONING	ZONE I	ZONE II	ZONE III	ZONE IV	ZONE V	ZONE VI	ZONE VII
WEAKLY ACIDIC to NEUTRAL 5 < PH < 7	Montmorillonite				-----				
	Chlorite				-----				
	Sericite			-----					
	Chl . / Mont .			-----					
	Seri . / Mont .			-----		-----			
	Epidote					-----			
	Prehnite					-----			
	Pumpellyite					-----	-----		
Actinolite						-----			
Biotite							-----		
SILICA MINERAL	$\alpha$ - cristobalite		-----	-----					
	Tridymite		-----	-----					
	Quartz		-----	-----					
ALKALIC PH > 7	Clinoptilite		-----	-----					
	Mordenite		-----	-----					
	Stilbite			-----					
	Laumontite			-----		-----			
	Wairakite					-----			
ACIDIC PH < 5	Halloysite	-----	-----						
	Kaolinite		-----	-----					
	Pyrophyllite			-----	-----				

----- abundant      ----- rare

図2.11 変質分帯と変質鉱物の出現消滅 ( 番場・窪田, 1997 )

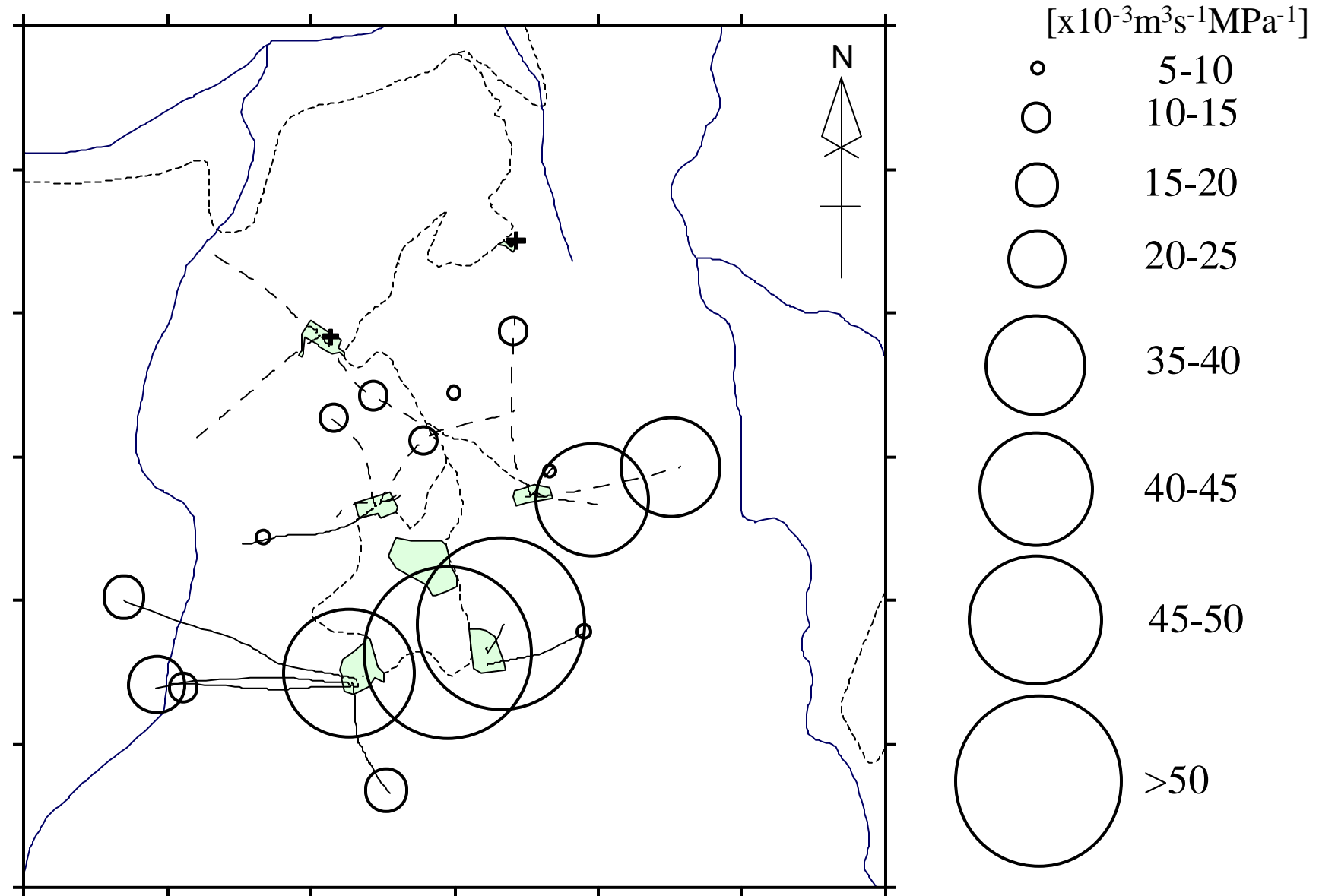


図2.13 注水指数の平面分布

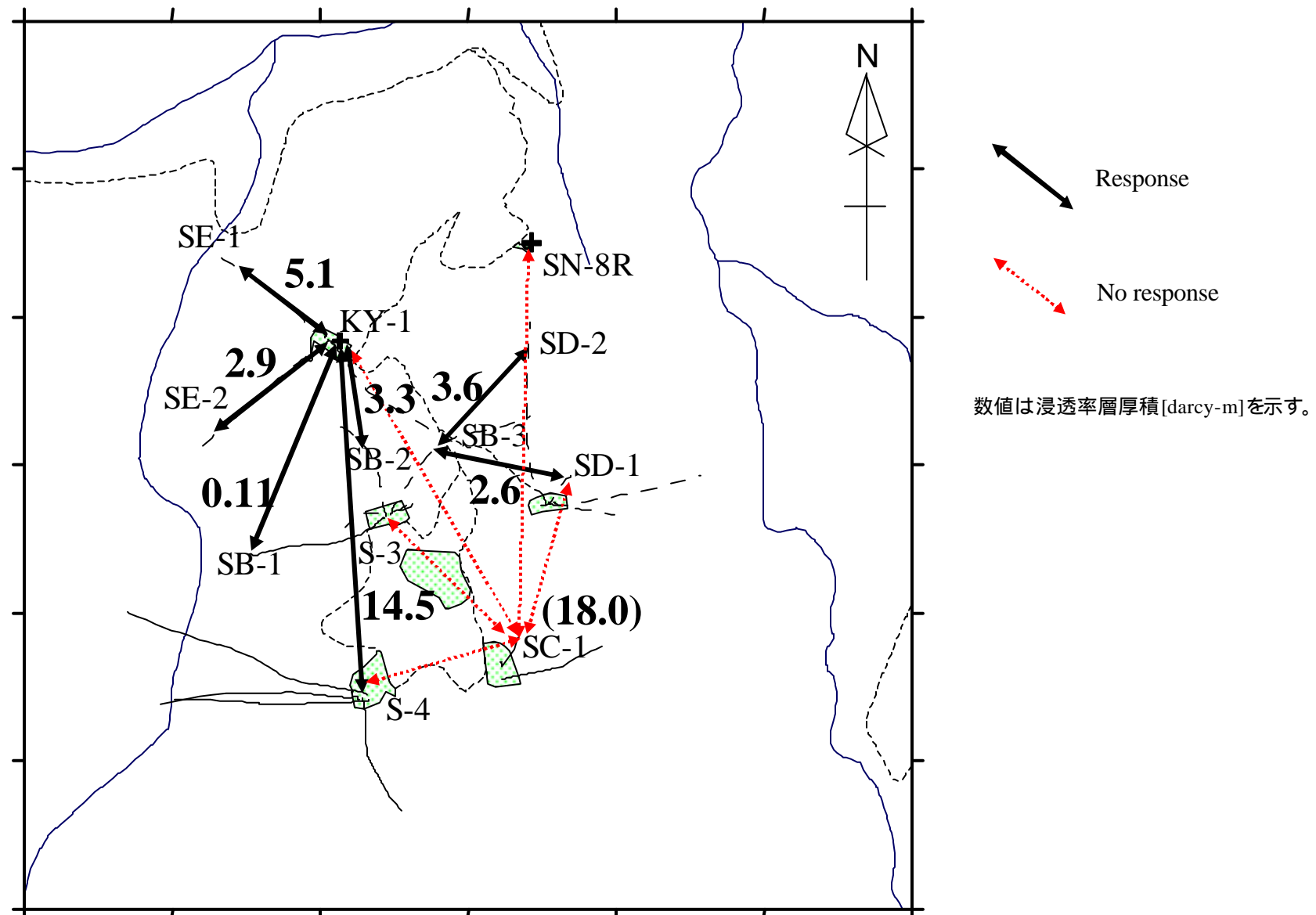


図2.14 圧力干渉試験に基づく浸透率層厚積の平面分布



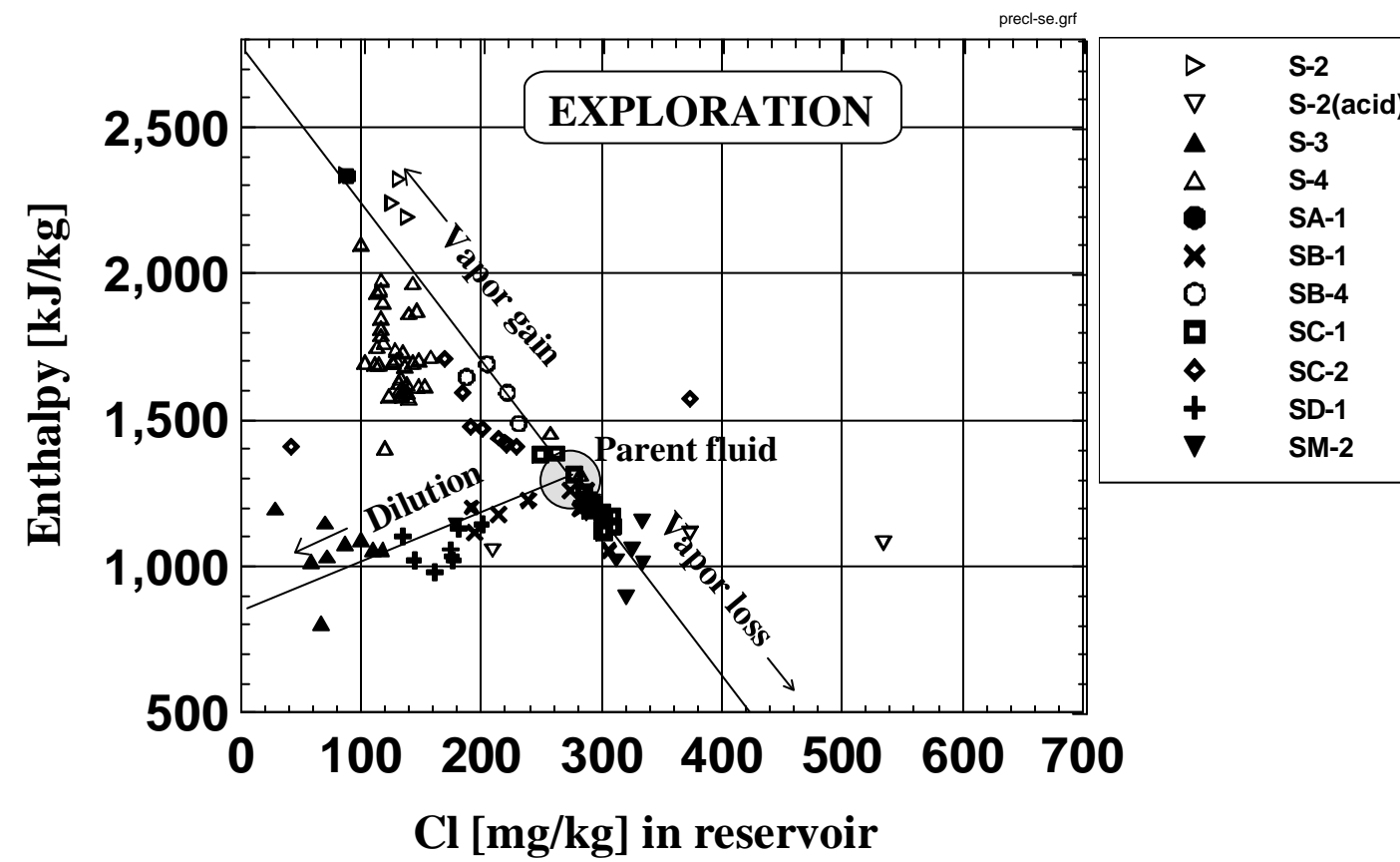


図2.16 Cl濃度 - エンタルピー図 (生産開始前)

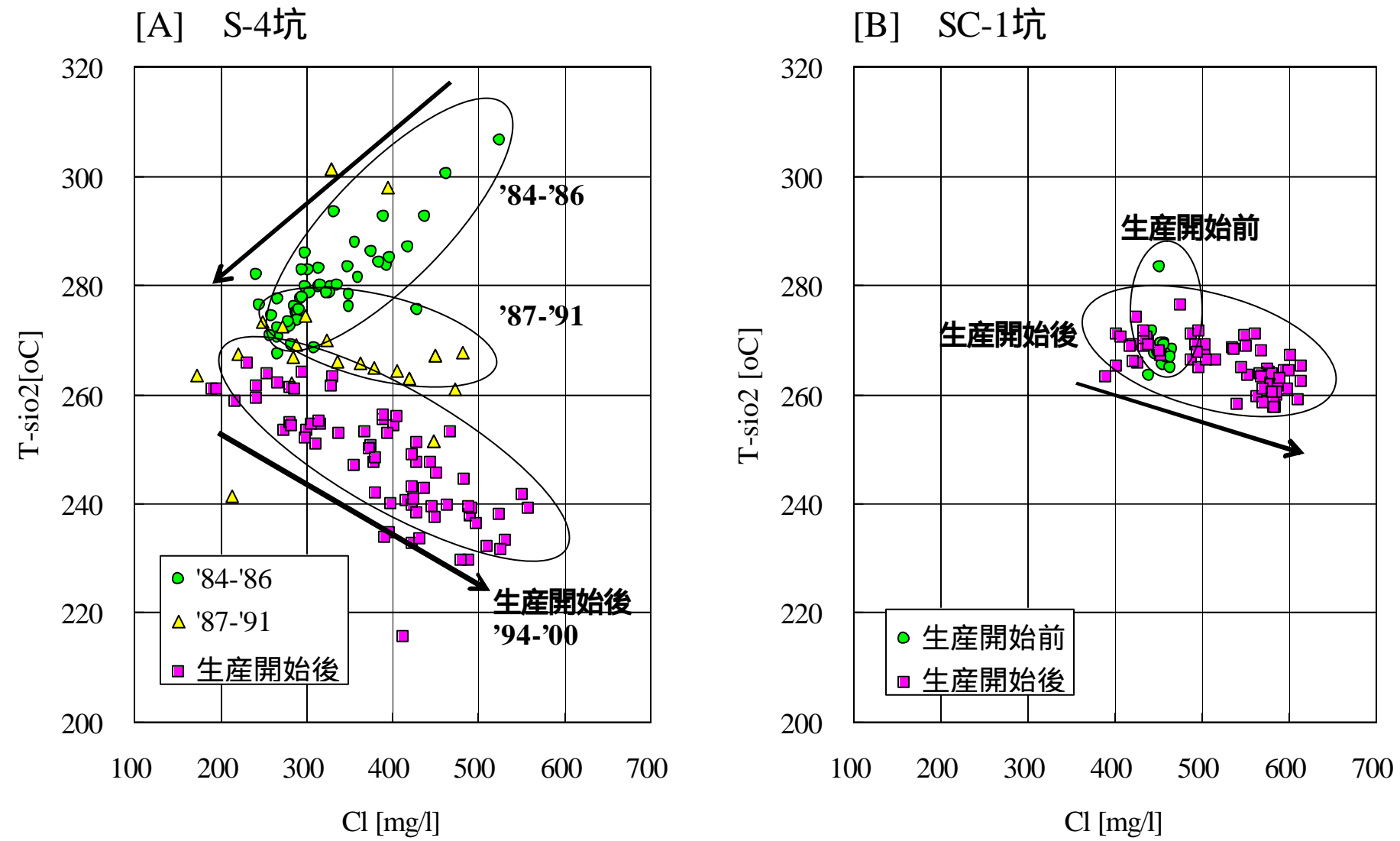


図2.17 生産開始前と生産開始後のCl濃度 - エンタルピーの関係の比較 . [A]SA-4坑 [B]SC-1坑

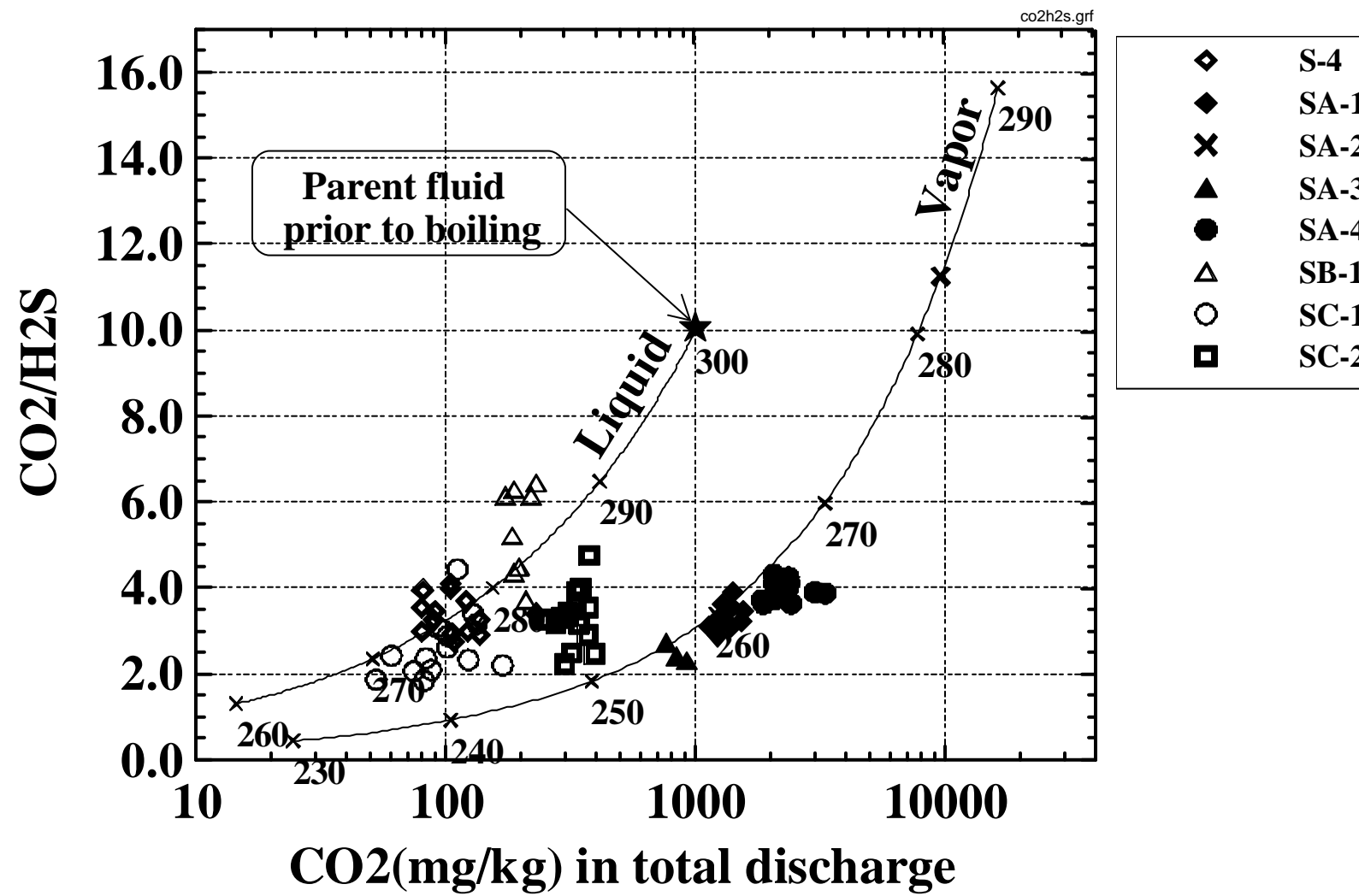


図2.18 ガス濃度と貯留層内沸騰過程

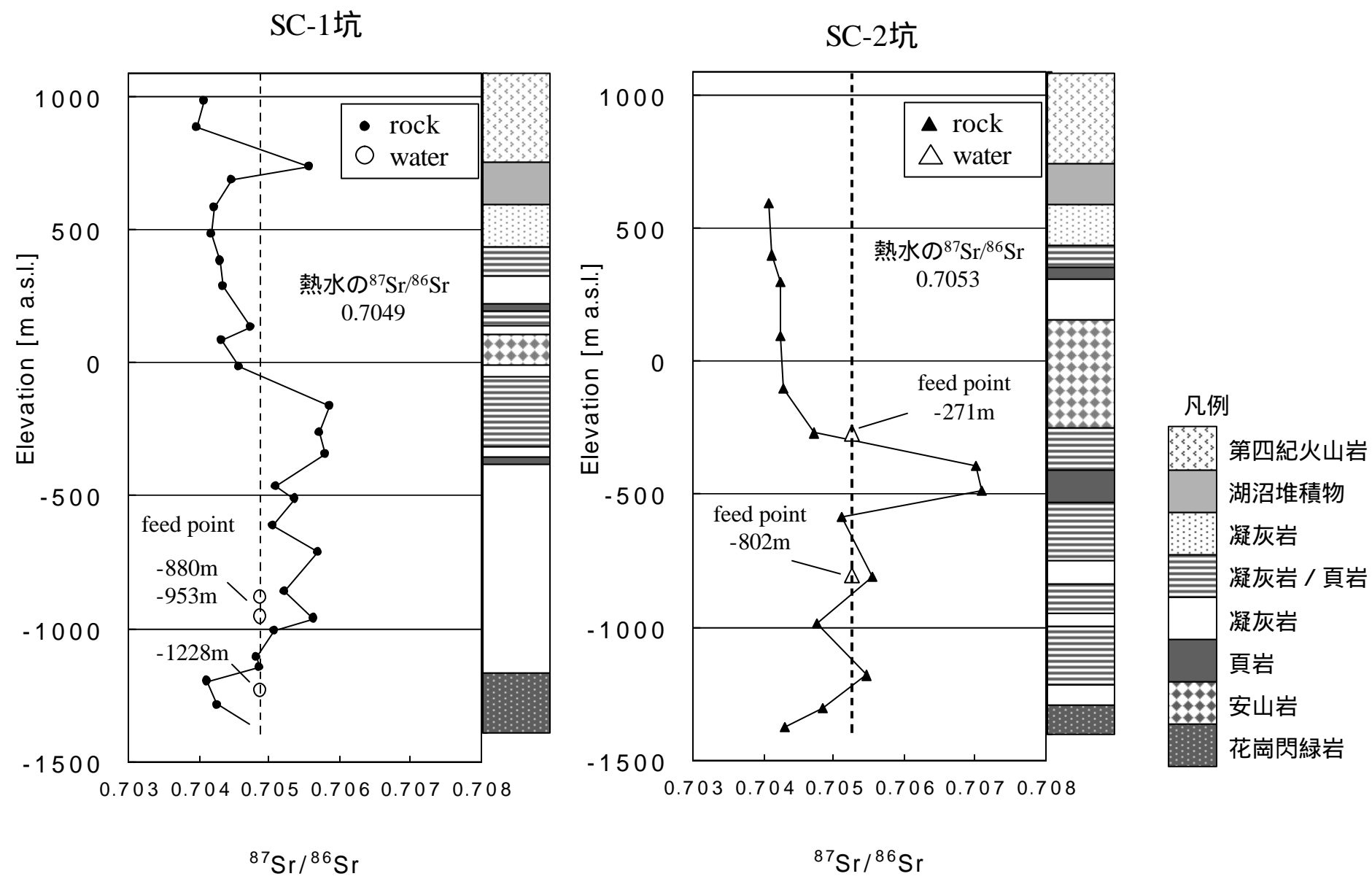


図2.19 岩石及び熱水のSr同位体比の関係

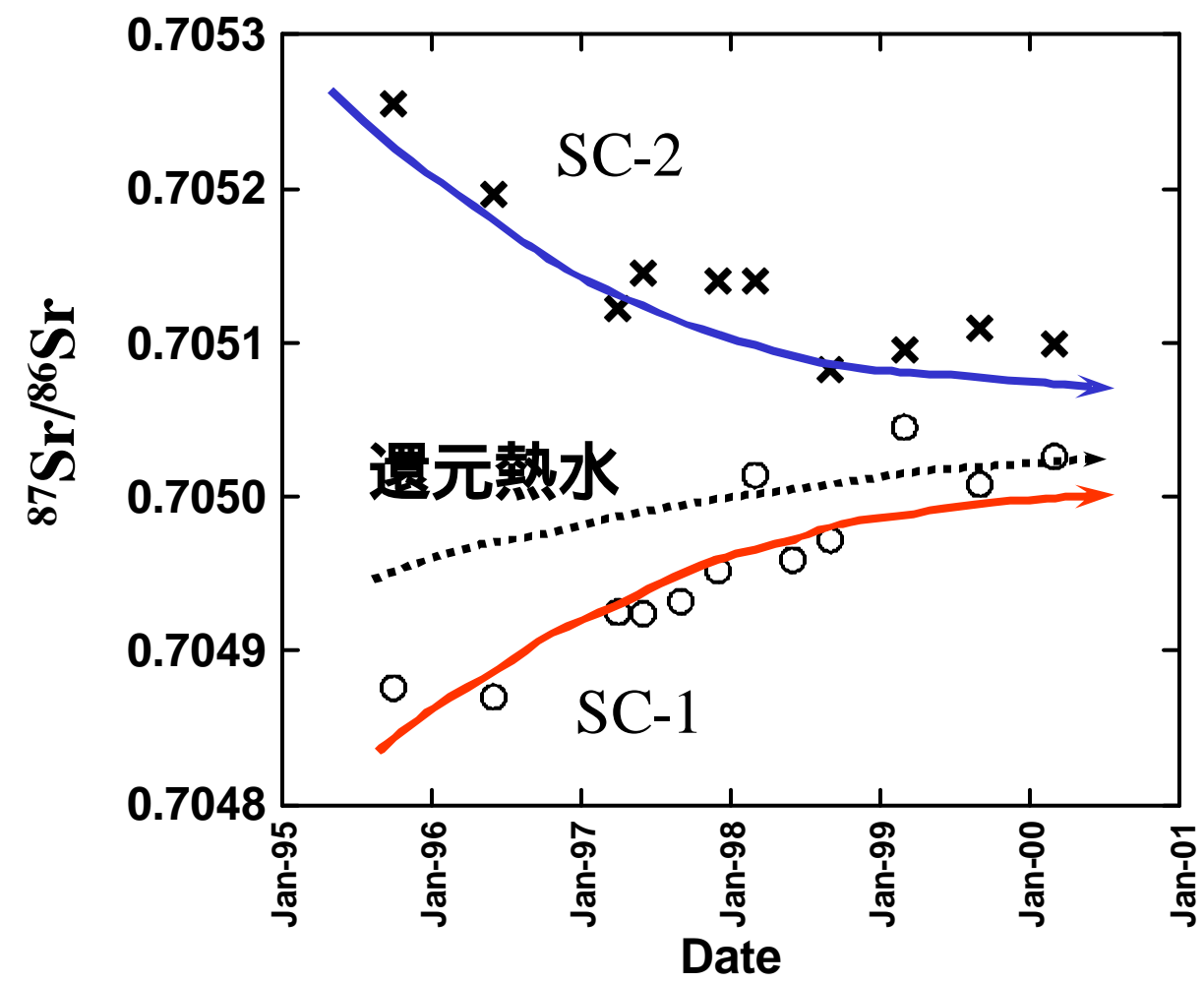


図2.20 SC-1坑及びSC-2坑の熱水のSr同位体比の経年変化